

ارزیابی هاله‌های لیتوژئوشیمیایی اولیه و ثانویه کانی‌سازی دالی شمالی و تلفیق آنها با سایر اطلاعات اکتشافی به منظور هدایت عملیات اکتشافی

(ضا قوامی‌ریابی^۱، فرشاد دارابی‌گلستان^۲، (ضا خالوکاکایی^۳ و هوشند اسدی‌هاونی^۴)

(۱) استادیار دانشکده معدن، نفت و ژئوفیزیک، دانشگاه صنعتی شهرورد، rghavami2@yahoo.com

(۲) کارشناس سازمان نظام مهندسی معدن استان کرمانشاه، farshad_darabi@yahoo.com

(۳) استاد دانشکده معدن، نفت و ژئوفیزیک، دانشگاه صنعتی شهرورد، r_kakaie@yahoo.com

(۴) استادیار دانشکده معدن، دانشگاه صنعتی اصفهان، asadi@dorsaplc.com

^{*} عهددار مکاتبات

دریافت: ۹۰/۴/۳؛ دریافت اصلاح شده: ۹۰/۱۱/۵؛ پذیرش: ۹۰/۱۱/۸؛ قابل دسترس در تارنما: ۹۱/۱/۳۱

چکیده

منطقه دالی، اولین اندیس پورفیری Au-Cu کربند ولکانیکی ارومیه- دختر در ایران می‌باشد که با توجه به پتانسیل معدنی مطالعات اکتشافی بیشتری را نیاز دارد. بر اساس نتایج نمونه‌برداری‌های سیستماتیک انجام شده در خاک، حفر تراشه‌ها و گمانه‌های اکتشافی و تفسیر و تحلیل‌های ژئوشیمیایی - آماری داده‌های حاصل، می‌توان به کترل حفاری‌ها و هدایت عملیات اکتشافی اقدام نمود. تحلیل ژئوشیمیایی- آماری ۱۶۵ نمونه خاک با استفاده از روش هندسه فرکتال در منطقه دالی شمالی منجر به تفکیک مناطق آنومال Au و Cu گردیده که منطقه آنومال انطباق مناسبی را با سنگ‌های کوارتز دیوریت پورفیری (QDP) داشته است. با بررسی اطلاعات ژئوشیمیایی تراشه‌های TR04 و TR05، مشخص گردید که در سنگ‌های QDP، نسبت‌های اکتشافی $\frac{Fe \times K}{Zn \times Mg}$ و $\frac{Ba \times K}{Ca \times Zn}$ متناسب با تغییر غلظت‌های Au و Cu در تراشه‌ها (محیط هیبوژن) عکس العمل نشان داده و می‌تواند بعنوان راهنمای مناسب اکتشافی در این سنگ‌ها محسوب شود. تراشه‌های مذکور، سنگ‌های QDP و مخصوصاً کتتاکت آن با آندزیت‌ها را بعنوان منطقه آنومال نشان داده و بررسی نمونه گمانه‌های هم آزمیوت با تراشه‌ها نیز این مسئله را تائید کرده است. بر اساس نتایج مطالعات ژئوشیمیایی به هدایت برداشت‌های ژئوفیزیکی به منظور تجسم زیر سطحی کاملتر از مناطق کانی‌سازی پرداخته و سپس حفاری اکتشافی پیشنهاد شده است. با توجه به بررسی‌های انجام شده و ارزیابی نتایج حفاری‌های اولیه، گمانه‌های بعدی در محدوده نزدیک به کتتاکت سنگ‌های کوارتز دیوریت پورفیری با آندزیت‌ها پیشنهاد گردیده‌اند.

واژه‌های کلیدی: تفکیک آنومالی، هندسه فرکتال، نسبت اکتشافی.

آلکالن تشکیل می‌شوند (Cooke et al. 2005, Richards 2005). در

مناطق فرورانش جزایر قوسی یک سیستم پورفیری Au-Cu و در منطقه فرورانش حاشیه قاره‌ای یک سیستم Cu-Mo پورفیری را دنیا در مناطق فرورانش همراه با سری‌های ماگمایی کالکوآلکالن و

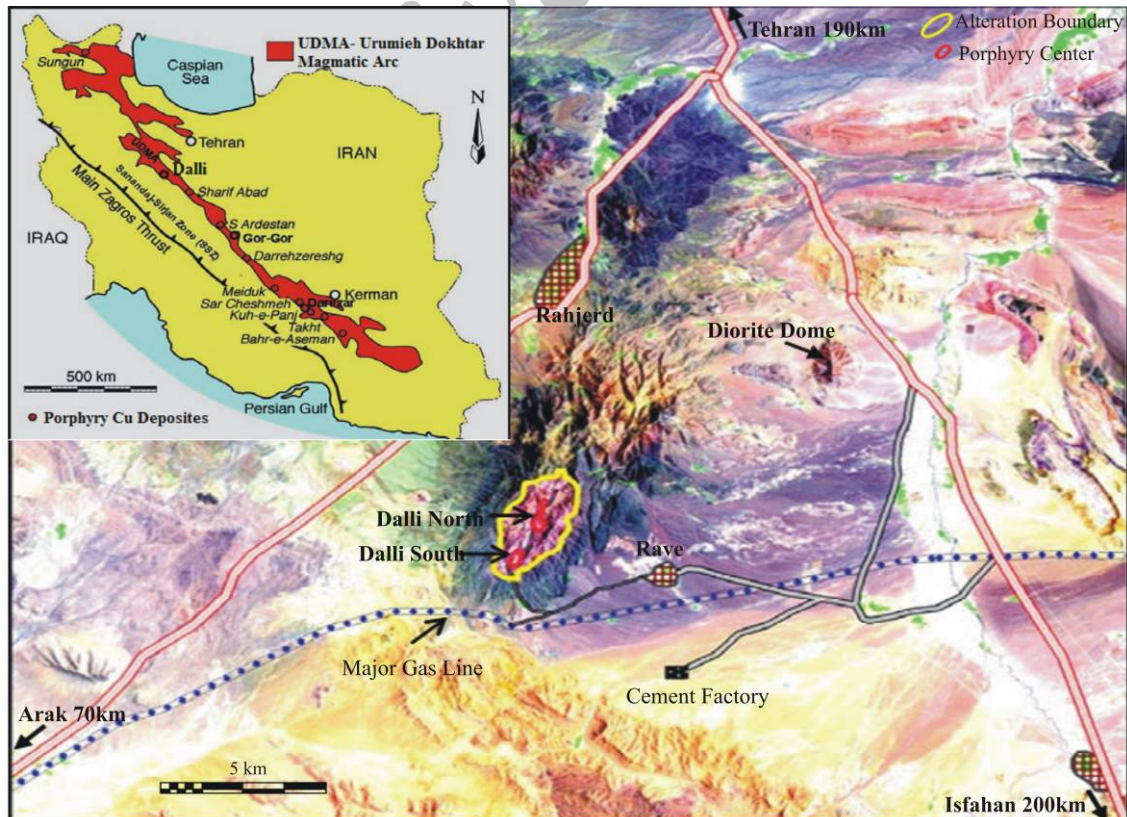
۱- مقدمه

پرداخته شده است. بر اساس مجموعه اطلاعات لیتوژئوشیمیابی اولیه و ثانویه اقدام به برداشت‌های ژئوفیزیکی گردید. در ادامه بر اساس مجموعه اطلاعات بدست آمده، به هدایت گمانه‌های اکتشافی اقدام شده است.

۲- موقعیت زمین‌شناسی منطقه

منطقه مورد مطالعه، اولین اندیس طلا- مس (Au-Cu) پورفیری استان مرکزی (۷۰ کیلومتری اراک) بوده که در نزدیکی تقاطع جاده اراک با بزرگراه تهران- اصفهان واقع شده است (تصویر ۱). این منطقه در طول جغرافیایی $50^{\circ} 19'E$ و عرض جغرافیایی $N 34^{\circ} 16'$ واقع شده که مساحت بیش از $400m \times 300m$ را در بر می‌گیرد. قوس ماجماتیکی (UDMA: Urmieh Dokhtar Magmatic Arc) ارومیه- دختر (Hou et al. 2004) میزبان تعدادی از انواع نهشته‌های مس پورفیری ایران می‌باشد که با ماجماتیسم نئوتیس در ایران مرکزی همراه بوده است (Shafiei et al. 2009, Stocklin 1974, Hezarkhani 2006a,b, Zaravandi et al. 2007). این کمربند، به عنوان کمربند آتشفسانی ایران مرکزی معروف شده است (Zaravandi et al. 2005, Shahabpour 2005).

می‌توان انتظار داشت. و هر دو ذخیره همراه با فروزانش صفحات اقیانوسی بوجود می‌آیند (Cooke et al. 2007). نهشته‌های پورفیری Au-Cu دارای مقدار بالای مگنتیت در زون دگرسانی پتسیم، دگرسانی آرژیلیک پیشرفت و یک همپوشانی مناسب نسبت به سیستم (Qu et al. 2007, Hou et al. 2009, Yang et al. 2009) Cu-Mo تشکیل نهشته‌های مس پورفیری طلدار به لحاظ تکتونیکی (Richard et al. 2009) بیشتر محدود به مناطق صفحات همگرا می‌باشد. آنچه که در ۱۹۰۰ کمربند ارومیه- دختر شامل سنگ‌های آتشفسانی - نفوذی آلکالن و کالک- آلکالن تیپ I بوده که مرتبط با زون فروزانش کوهزایی آلبی است (Pourhosseini 1981). ذخایر مهم مس- طلای پورفیری ایران مرتبط با استوک‌های کالک آلکالن کمربند آتشفسانی- نفوذی سهند- بزمان (بخشی از کمربند ولکانیکی ارومیه- دختر) بوده (Hou et al. 2004) و نهشته دالی یکی از این ذخایر می‌تواند محسوب گردد. نهشته دالی به دو منطقه دالی شمالی و جنوبی تفکیک می‌گردد که در این تحقیق مطالعه بر روی منطقه دالی شمالی می‌باشد. در این مقاله در منطقه دالی شمالی جهت تفکیک مناطق با اهمیت اکتشافی، از روش هندسه فرکtal کمک گرفته شده که بر اساس پرسی تغییر بعد فرکtalی حد آستانه آنومالی تعیین گردیده است (Cheng et al. 2002, Hassani et al. 2009, Wang et al. 2010) آنومال از طریق حفر ترانشه‌ها به مطالعات لیتوژئوشیمیابی اولیه



تصویر ۱- نقشه موقعیت منطقه دالی (Asadi Haroni 2008)

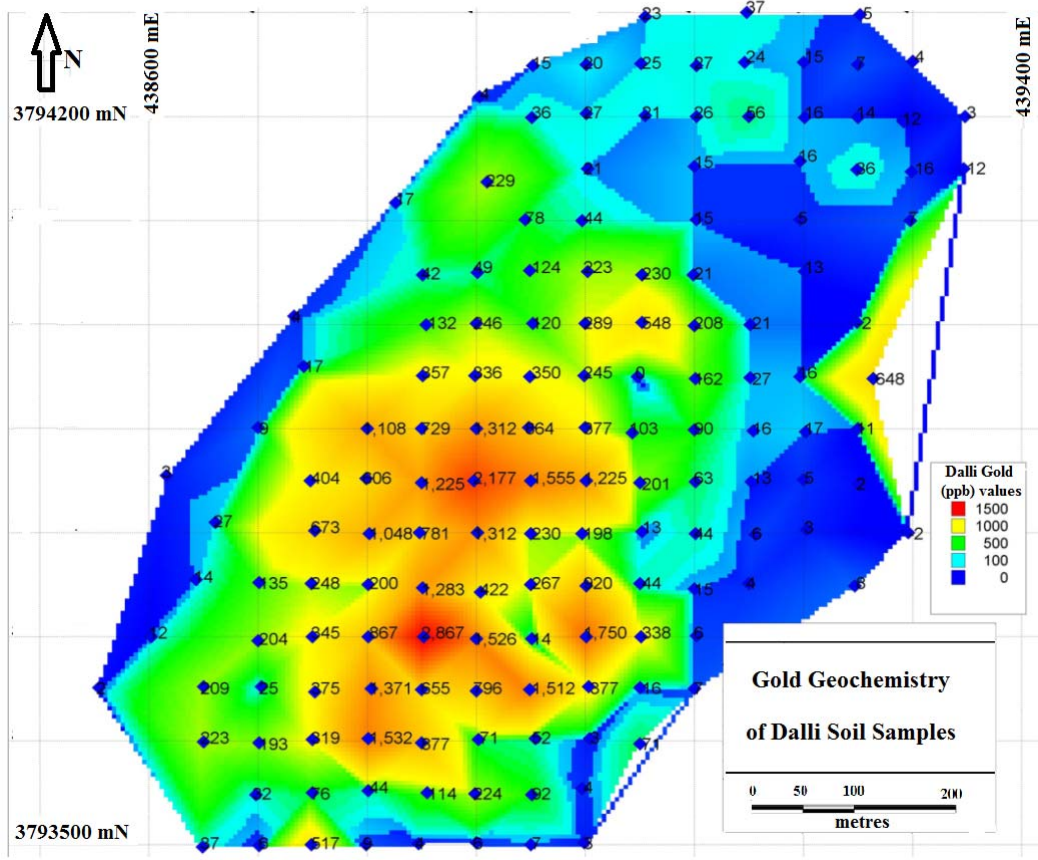
تغییرات غلظت، برای داده‌های جانشین شده وریوگرام در آزمون‌های مختلف رسم شد. وریوگرام در راستای آزموت 30° با بیشترین پیوستگی و حداقل تغییرات، راستای تشکیل آنومالی و آزموت 120° عمود بر راستای آنومالی تعیین گردید (تصویر ۳a).

از مشخصات این وریوگرام‌ها جهت تخمین به روش کریجینگ استفاده شد. شبکه نمونه‌برداری با فاصله ۵۰ متر، به یک شبکه چگالتر با ابعاد شبکه $25\text{m} \times 25\text{m}$ تبدیل گشته و هر شبکه توسط روش کریجینگ تخمین زده شد. شعاع تاثیر جهت تخمین با استفاده از نمونه‌های همچوار ۲۰۰ متر در نظر گرفته شد تا با توجه به نمونه‌های موجود در این فاصله تخمین صورت گیرد. در شبکه‌های تخمین یافته شده، اختلافات غلظت برای نمونه‌ها کمتر شده و مقادیر نسبت داده شده به هر شبکه دارای یک پیوستگی بیشتر و بازه کوچکتر (مینیمم بزرگتر و ماکسیمم کوچکتر) نسبت به حالت واقعی خود می‌باشد. در نظر گرفتن شعاع تاثیر ۲۰۰ متر و تشکیل شبکه‌هایی با اندازه یک‌چهارم حالت اولیه در منطقه، باعث بوجود آمدن ۱۱۶ شبکه با مقدار تخمین زده شده می‌شود. برای محاسبه و تعیین مقادیر زمینه، آستانه و آنومالی، روش‌های گوناگونی وجود دارد، که همگی بر پایه ی پیش فرض نرمال بودن داده‌ها قرار دارند (کهرازه و همکاران ۱۳۸۹).

سنگ‌های منطقه از هورنبلند بیوتیت کوارتز دیوریت در تپه دالی شمالی تا هورنبلند بیوتیت دیوریت در تپه دالی جنوبی تغییر می‌کند. زمین شناسی منطقه بیانگر آن است که چینه‌های آتشفسانی میوسن پسین و رخنمون سنگ‌های آتشفسانی (آمفیبول آندزیت پورفیری، داسیت) و پیروکلاستیک‌ها در راستای شمال شرقی-جنوب غربی در طول بیشتر از ۳۰ کیلومتر گسترش یافته‌اند (Asadi Haroni 2008). در این تحقیق مطالعات بر روی منطقه دالی شمالی می‌باشد.

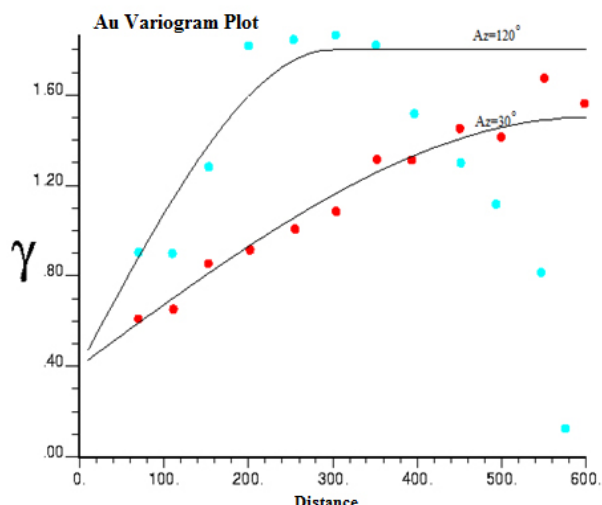
۳- بررسی نمونه‌های خاک و ترانشه و نتایج گمانه‌ها

در منطقه دالی شمالی، ۱۶۵ نمونه سیستماتیک از خاک برداشت گردید. این نمونه‌برداری با حد فاصل ۵۰ متر (شبکه‌ای $50\text{m} \times 50\text{m}$) برداشت شده است (تصویر ۲). روش آنالیز غلظت‌ها ICP-MS بوده که برای ۴۵ عنصر در آزمایشگاه آمدل استرالیا انجام شده است. در این روش غلظت‌های بالا قابل اندازه‌گیری بوده و عناصر با مقدار ناچیز نیز در اکثر مواقع ثبت می‌شوند (Graham et al. 2004). آستانه دقت برای عناصر اصلی 100 ppb می‌باشد (جعفریان و همکاران ۱۳۸۸). بنابراین برای غلظت‌های بالا نیازی به جایگذاری وجود ندارد اما برای نمونه‌ها و عناصر زیر حد قابل ثبت دستگاه، نصف حد قابل ثبت جایگزین گردیده است. برای ارزیابی همسانگردی و تعیین حداقل

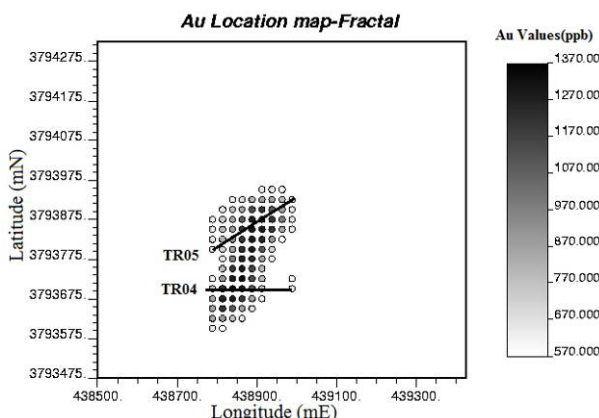


تصویر ۲- نقشه موقعیت نمونه‌برداری سیستماتیک و موقعیت آنومالی Au در خاک

محدوده آنومال مشخص شده با استفاده از روش فرکتالی در تصویر ۵ نشان داده شده است. بر اساس شبکه‌بندی جدید $25\text{m} \times 25\text{m}$ مقدار حد جدایش آنومالی از زمینه 560 ppb , محدوده با غلظت بالای 560 ppb به عنوان محدوده آنومال بررسی می‌گردد. با توجه به عیار بالای جامعه سوم، تعداد کم نمونه‌های آنومال و حساسیت بالا برای این عنصر جهت مشخص نمودن منطقه آنومال، این جامعه جزئی از جامعه دوم معرفی گشته و حد جدایش جامعه دوم بعنوان حد آستانه آنومالی (560 ppb) معرفی گشته است. محدوده آنومال مشخص شده با استفاده از روش فرکتالی در تصویر ۵ نشان داده شده است. بر اساس شبکه‌بندی جدید $25\text{m} \times 25\text{m}$ و مقدار حد جدایش آنومالی از زمینه 560 ppb , محدوده با غلظت بالای 560 ppb به عنوان محدوده آنومال بررسی می‌گردد.



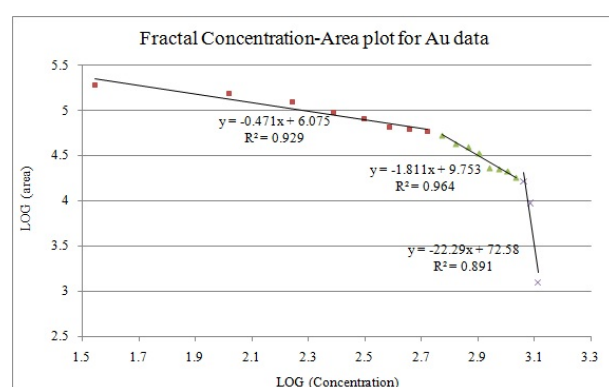
تصویر ۳- وریوگرام عنصر طلا برای آزمیوت‌های در امتداد موقعیت آنومالی و عمود بر آن



تصویر ۵- مناطق آنومال Au بر اساس روش فرکتالی (غلظت بالای TR04 و TR05) بهمراه موقعیت ترانشه TR04 و TR05 (560 ppb)

بر اساس نتایج برداشت شده از نمونه‌های خاک و مکان آنومالی‌ها، اقدام به حفر ترانشه‌هایی در منطقه گردید. مهمترین این ترانشه‌ها TR04 و TR05 بوده که بر روی آنومالی مشخص شده به روش فرکتالی (تصویر ۵) واقع شده‌اند و به منظور چک کردن عیارهای بالای Au و Cu گردیده‌اند. تغییرات غلظت عناصر Au و Cu در این دو ترانشه در تصاویر ۶ و ۷ رسم شده است. بر این اساس محدوده کانی‌سازی شده که از بالاترین تمرکز غلظت‌ها برخوردار می‌باشد مشخص گردیده است. در زیر هر ترانشه مقطع تغییرات لیتوژئیکی و تیپ و شدت دگرسانی‌ها بهمراه محدوده گسترش آنها تعیین گردیده است. ترانشه TR04 در زون کانی‌سازی شده برای عنصر Au متوسط عیار $1/3\text{ ppm}$ و برای عنصر Cu، عیار 2200 ppm را نشان داده است (تصویر ۶). در ترانشه TR05 این مقادیر به ترتیب 1 ppm و 1800 ppm در زون کانی‌سازی شده تعیین گردیده است (تصویر ۷). با توجه به تصاویر ۶ و ۷، تمرکز غلظت‌ها در محدوده با شدت دگرسانی

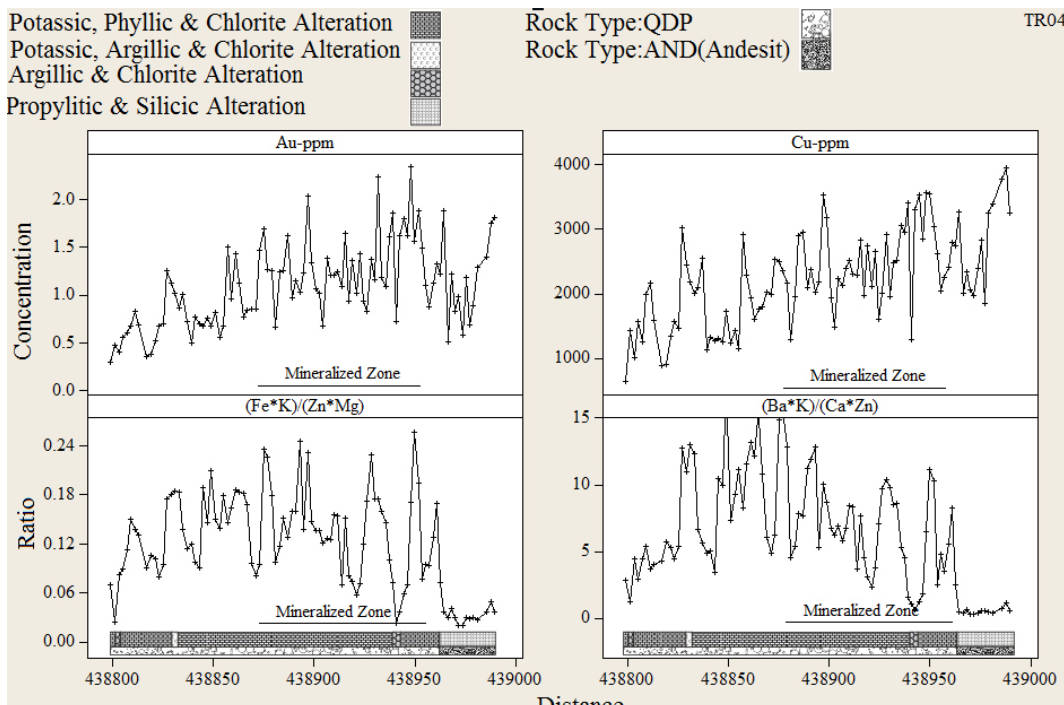
در این پژوهش، جهت جدا نمودن منطقه آنومال از زمینه برای عنصر طلا، از روش هندسه فراکتال استفاده گردید. با کلاس‌بندی داده‌ها و محاسبه فراوانی هر کلاس، در نهایت دو ستون داده تمام لگاریتمی (غلظت-مساحت) بدست آمد که در یک نمودار رسم گردیدند. این روش فرکتالی، به روش عیار-مساحت یا غلظت-مساحت معروف می‌باشد (Cheng et al. 1994, Cheng et al. 2002). با بهکار گرفتن داده‌های تخمین زده شده، نمودار فرکتالی برای عنصر طلا، مطابق تصویر ۴ بدست آمد. این نمودار سه جامعه آماری متفاوت را نشان داد که جامعه سوم با حد جدایش 1120 ppb تنها ۲۳ شبکه از ۱۱۱۶ شبکه آنومالی را تخمین می‌زند. با توجه به عیار بالای جامعه سوم، تعداد کم نمونه‌های آنومال و حساسیت بالا برای این عنصر جهت مشخص نمودن منطقه آنومال، این جامعه جزئی از جامعه دوم معرفی گشته و حد جدایش جامعه دوم بعنوان حد آستانه آنومالی (560 ppb) معرفی گشته است.



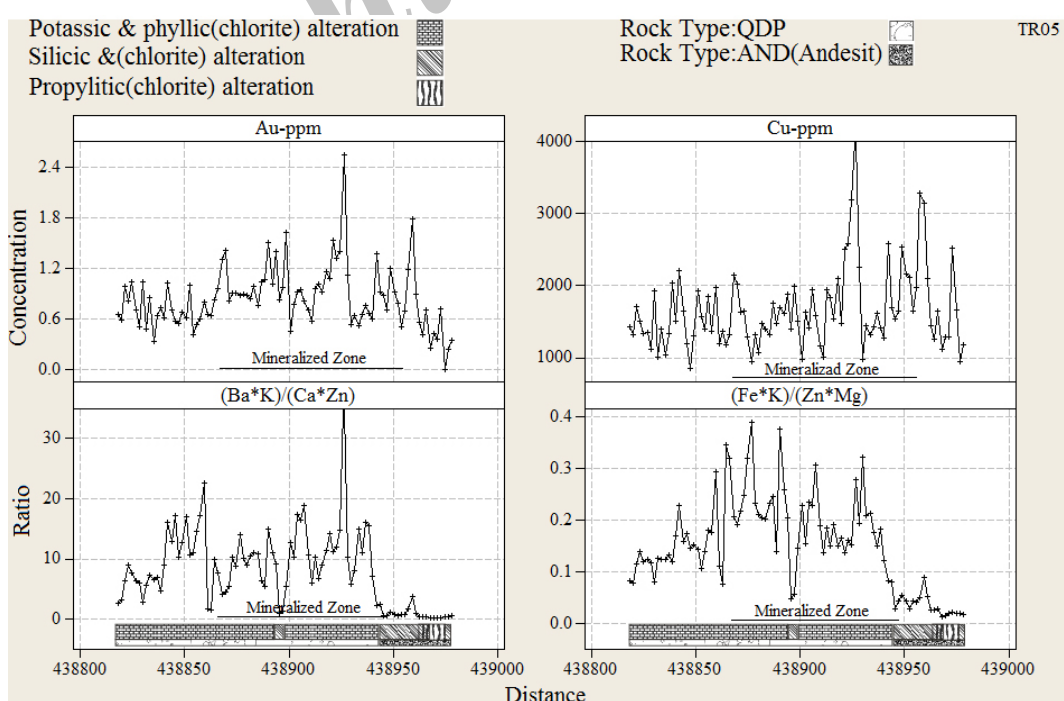
تصویر ۴- مدل فرکتالی غلظت-مساحت عنصر Au بر حسب حدود جدایش 560 ppb و 1120 ppb

در ترانشه TR04 نسبت $\frac{Ba.K}{Ca.Zn}$ در خارج از محدوده با غلظت بالای Cu-Au و البته در سنگ‌های QDP از شدت بالاتر و عکس العمل شدیدتر برخوردار می‌باشد. این در حالی است که نسبت $\frac{Fe.K}{Zn.Mg}$ در محدوده کانی‌سازی شده از عکس‌العمل واضح‌تری برخوردار می‌باشد.

بالای پتابسیک (متوسط فیلیک تا ضعف کلریتی) و در درون واحدهای سنگی کوارتز دیوریت پورفیری صورت گرفته است. علاوه بر بررسی تغییرات Au و Cu در این دو ترانشه و ارزیابی صورت گرفته از عکس‌العمل‌های ژئوشیمیابی سایر عناصر، به بررسی تغییرات دو نسبت $\frac{Ba.K}{Ca.Zn}$ و $\frac{Fe.K}{Zn.Mg}$ نیز پرداخته شده است.



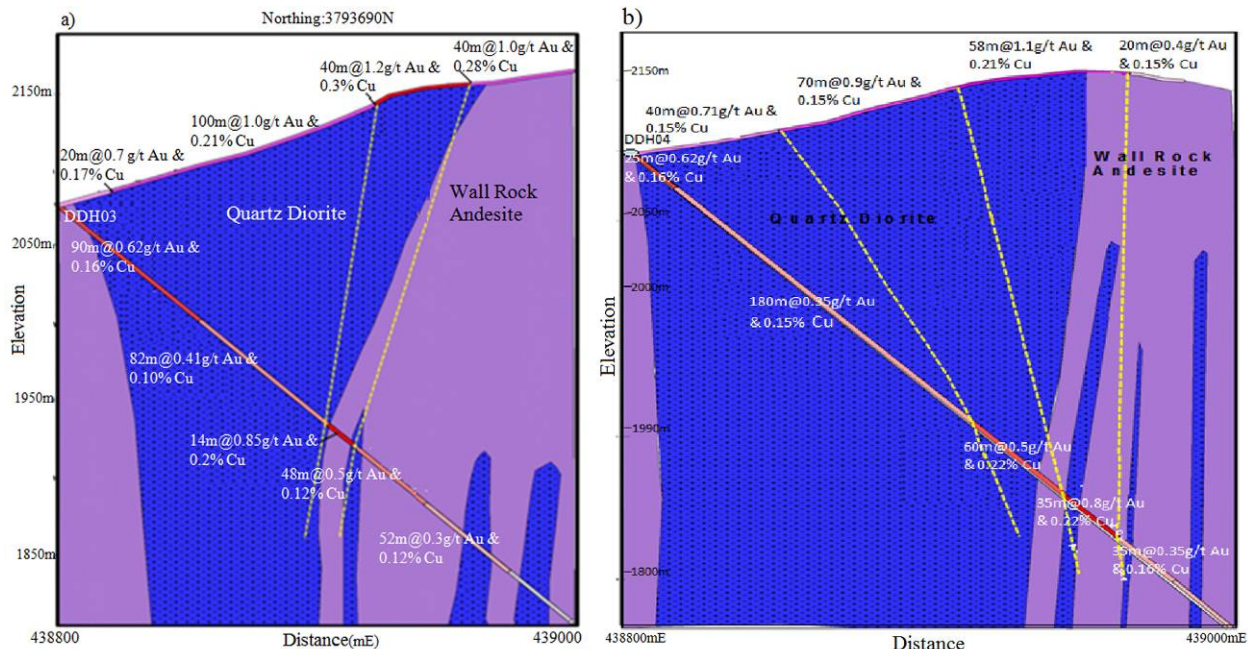
تصویر ۶- روند تغییرات Au و Cu در ترانشه TR04 و نسبت‌های $\frac{Ba.K}{Ca.Zn}$ و $\frac{Fe.K}{Zn.Mg}$



تصویر ۷- روند تغییرات Au و Cu در ترانشه TR04 و نسبت‌های $\frac{Ba.K}{Ca.Zn}$ و $\frac{Fe.K}{Zn.Mg}$

QDP و آندزیتی (AND) از عیارهای بالاتری برخوردار می‌باشند. در ترانشه TR04 در مرز کن tact سنگ‌های AND و QDP در یک فاصله ۴۰ متری، متوسط عیار طلا به $1/2\text{g/t}$ و مس به $0/3\%$ درصد می‌رسد که افزایش قابل توجهی نسبت به دیگر بخش‌های ترانشه نشان می‌دهد (تصویر ۸-a). در ترانشه TR05 کن tact این سنگ‌ها در یک طول ۵۸ متری متوسط عیار طلا $1/1\text{g/t}$ و مس $0/21\%$ درصد را نشان می‌دهد (تصویر ۸-a).

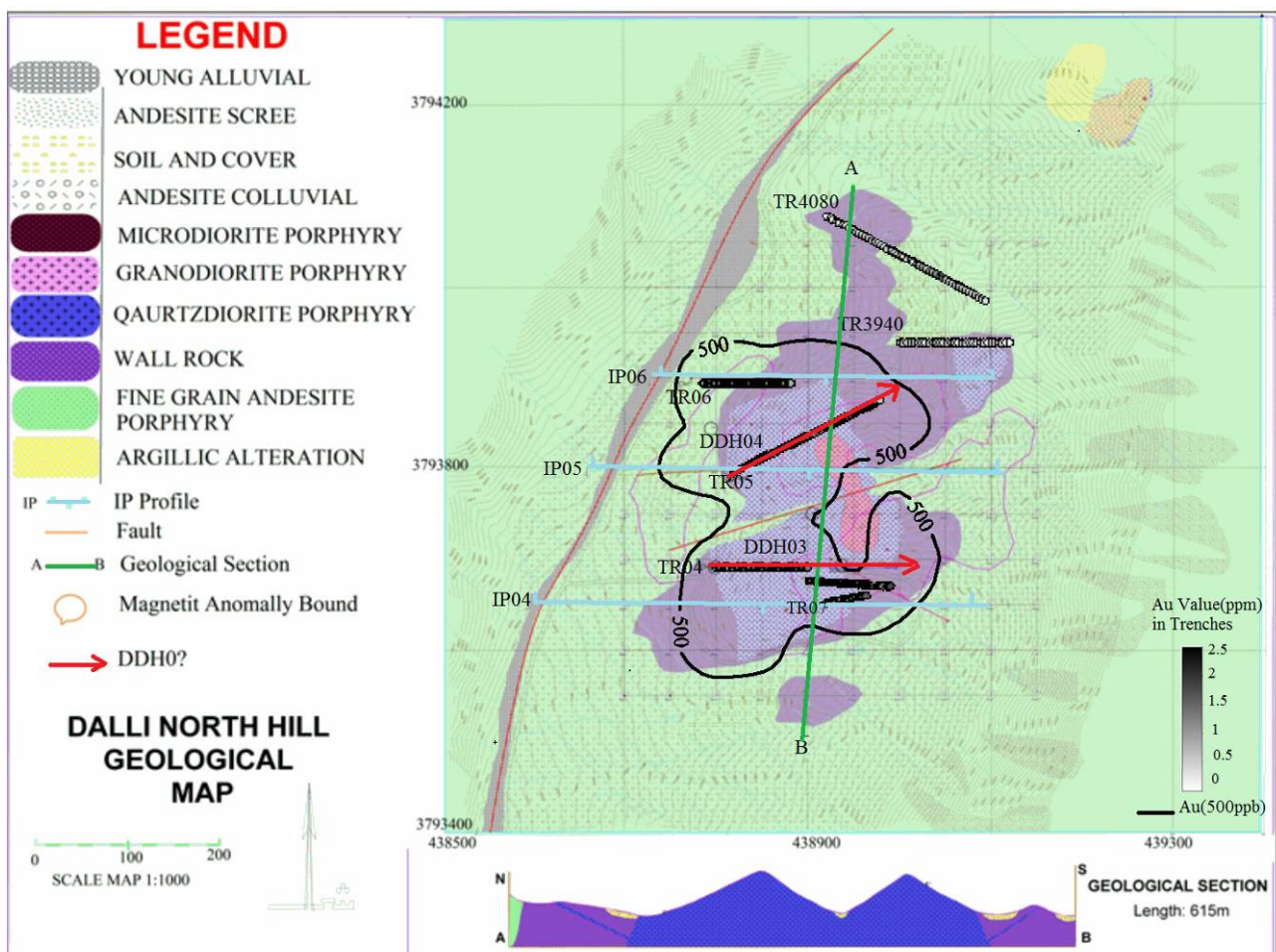
در ترانشه TR05 (تصویر ۷) هر دو نسبت $\frac{\text{Ba.K}}{\text{Ca.Zn}}$ و $\frac{\text{Fe.K}}{\text{Zn.Mg}}$ محدوده کانی سازی از شدت بالاتر و عکس العمل شدیدتری برخوردار می‌باشند. تغییرات لیتوژئیکی و میانگین عیارهای بدست آمده از ترانشه‌ها و گمانه‌ها در تصویر ۸ آورده شده است همانگونه که ملاحظه می‌شود محیط لیتوژئو شیمیایی سنگ‌های QDP بالاترین عیارهای Au و Cu را نشان می‌دهند. این بررسی‌ها بیانگر این واقعیت می‌باشند که Au و Cu در سنگ‌های QDP و مخصوصاً در کن tact سنگ‌های Au



تصویر ۸- مقطع عرضی زمین‌شناسی (a) ترانشه TR05 و گمانه هم آزمیوت آن (DDH03) و (b) ترانشه TR04 و گمانه هم آزمیوت آن (DDH04)

غلظت‌های ترانشه و گمانه هم آزمیوت آن (مشابه تصویر ۸ و محدوده کن tact سنگ‌های AND و QDP و آندزیتی) مشخص شده با خطوط منقطع) که انطباق بالایی بر هم دارند هم پیشنهاد می‌گردد که اطلاعات بدست آمده را کامل خواهند نمود. بررسی بیشتر در رابطه با این موضوع، پیشنهادات خوبی را در زمینه‌ی حفاری‌های آتی ارائه می‌نماید. برداشت‌های مغناطیس شدگی در منطقه مورد مطالعه بیانگر آن است که بیشترین مقادیر مغناطیسی شدن برای نمونه‌های خاک در مرز کن tact سنگ‌های QDP با ANDها می‌باشد (محدوده خطوط بسته صورتی رنگ تصویر ۹). وجود پیریت و کالکوپیریت فراوان در سنگ‌های پورفیری با غلظت‌های بالای Au و Cu و بالا بودن درصد مگنتیت و هماتیت نمونه‌ها، سبب گردید تا به منظور ارزیابی وضعیت پیوستگی مناطق کانی سازی و تجسم بهتری از زیر سطح، عملیات رئوفیزیکی پلاریزاسیون القابی، رزیستیویته (IP/RS) و مغناطیس سنجی اجرا گردد. همچنین بر این اساس عملیات حفر گمانه‌های دیگر با تکیه بر نتایج مطالعات لیتوژئو شیمیایی اولیه و ثانویه صورت گیرد.

گمانه‌های DDH03 و DDH04 در منطقه دالی شمالی به‌ نحوی طراحی شده‌اند که تکمیل کننده نتایج خاک و مخصوصاً ترانشه‌ها باشند. در این میان گمانه‌های DDH03 و DDH04 به ترتیب در امتداد آزمیوت ترانشه‌های TR04 و TR05 حفاری گردیده‌اند (تصویر ۸). این گمانه‌ها همخوانی بسیار خوبی را از نظر تغییرات غلظت غصه‌های با ترانشه‌های هم آزمیوت خود نشان می‌دهند بطوری که این گمانه‌ها در کن tact سنگ‌های QDP و AND بیشترین غلظت خود را نشان می‌دهند. با در نظر گرفتن مقاطع عرضی برای گمانه‌های DDH04 بهمراه ترانشه‌های هم آزمیوت آنها، این نتیجه حاصل می‌شود که یک پیوستگی قائم به ترتیب بین گمانه‌های DDH03 و DDH04 و ترانشه‌های TR04 و TR05 وجود دارد. همچنین هر قسمت از گمانه‌ها را می‌توان متناظر با طول مشخصی از ترانشه نسبت داد که از نظر عیار Au و Cu و همچنین موقعیت سنگ میزبان QDP و AND با هم همخوانی مناسبی دارند. جهت اثبات نتایج بدست آمده، گمانه‌های دیگری در محدوده در برگیرنده بیشترین



تصویر ۹- نقشه زمین‌شناسی، محدوده آنومالی طلا در خاک، محدوده آنومالی مغناطیسی، موقعیت ترانشه‌ها و گمانه‌های حفر شده و پروفیل‌های IP/RS پیشنهادی

QDP با AND می‌باشدند (TR04 و TR05). نتایج مطالعات لیتوژئوشیمیابی اولیه، نسبتهای $\frac{Ba.K}{Ca.Zn}$ و $\frac{Fe.K}{Zn.Mg}$ را در شناسایی محدوده‌های کانی‌سازی معرفی می‌نماید. جهت کسب اطلاعات دقیق‌تر از عمق، گمانه‌های DDH03 و DDH04 در امتداد آزمیوت ترانشه‌ها حفر گردیده که نتایج بدست آمده را تأیید می‌نمایند.

پیوستگی قائم بین افزایش غلظت‌های ملاحظه شده در گمانه‌ها و ترانشه‌های هم آزمیوت از نظر کانی‌سازی Au و Cu در کتکت و سنگ‌های QDP ثبت گردیده است. آنومالی‌های مغناطیس سنجی نیز انطباق خوبی را با نتایج برداشت‌های لیتوژئوشیمیابی اولیه و ثانویه نشان دادند.

تشکر و قدردانی

از شرکت درسا پردازه که داده‌های حاصل از آنالیز نمونه‌ها را در اختیار ما قرار دادند کمال قدردانی و تشکر را داریم.

در تصویر ۹، موقعیت گمانه‌های حفاری شده و برداشت‌های آتی ژئوفیزیکی (IP) و ترانشه‌های مختلف حفر شده جهت کسب اطلاعات تکمیلی تحت ارضی نمایش داده شده است. بیشترین غلظت برای ترانشه‌های TR04، TR05، TR06 و TR07 می‌باشد که در داخل محدوده آنومال خاک (غلظت بالای ۵۰۰ ppb) برداشت شده‌اند.

دو ترانشه TR4080 و TR3940 که در خارج از محدوده ۵۰۰ ppb واقع هستند، غلظت‌های کمتری را نشان دادند.

۴- تدبیرهایی

محدوده‌های آنومال مشخص شده به روش فرکتالی بر روی داده‌های خاک، انطباق مناسبی با سنگ‌های QDP و تا حد کمتری با سنگ میزبان AND دارند.

ترانشه‌های متعددی در مناطق آنومال حفر گردید که غلظت‌های بالایی را در این مناطق مشخص نموده و این مناطق در کتکت بین

مراجع

- G. Rui, Z., Gao, Y. & Zaw, Kh., 2009,** "The Miocene Gangdese porphyry copper belt generated during post-collisional extension in the Tibetan Orogen", *Ore Geology Reviews*, Vol. 36 (1-3): 25–51.
- Pourhosseini, F., 1981,** "Petrogenesis of Iranian plutons: a study of the Natanz and Bazman intrusive complexes ", *Geological Survey of Iran*, Vol. 53, 315 pp.
- Qu, X., Hou, Z., Zaw, K. & Li, Y., 2007,** "Characteristics and genesis of Gangdese porphyry copper deposits in the southern Tibetan Plateau: Preliminary geochemical and geochronological results", *Ore Geology Reviews*, Vol. 31 (1-4): 205–223.
- Richards, J. P., 2005,** "Cumulative Factors in the Generation of Giant Calc-Alkaline Porphyry Cu Deposits", In: Porter, T. M. (ed.), *Super-Porphyry Copper & Gold Deposits: A Global Perspective*, PGC Publishing, Adelaide, Vol. 1: 7–25.
- Shafiei, B., Haschke, M. & Shahabpour, J., 2009,** "Recycling of orogenic arc crust triggers porphyry Cu mineralization in Kerman Cenozoic arc rocks, southeastern Iran", *Mineralium Deposita*, Vol. 44 (3): 265–283.
- Shahabpour, J., 2005,** "Tectonic evolution of the orogenic belt in the region located between Kerman and Neyriz", *Journal of Asian Earth Sciences*, Vol. 24 (4): 405–417.
- Stöcklin, J., 1974,** "Possible ancient continental margins in Iran", In: Burke, C., Drake, C. (Eds.), *Geology of Continental Margins*, Springer-Verlag, New York: 873–877.
- Wang, Q., Deng, J., Liu, H., Yang, L., Wan, L. & Zhang, R., 2010,** "Fractal models for ore reserve estimation", *Ore Geology Reviews*, Vol. 37 (1): 2–14.
- Yang, Z., Hou, Z., White, N. C., Chang, Z., Li, Z. & Song, Y., 2009,** "Geology of the post-collisional porphyry copper-molybdenum deposit at Qulong, Tibet", *Ore Geology Reviews*, Vol. 36 (1-3): 133–159.
- Zarasvandi, A., Liaghat, S. & Zentilli, M., 2005,** "Geology of the Darreh-Zerreshk and Ali-Abad Porphyry Copper Deposits, Central Iran", *International Geology Review*, Vol. 47 (6): 620–646.
- Zarasvandi, A., Liaghat, S., Zentilli, M. & Reynolds, P. H., 2007,** "40Ar/39Ar Geochronology of Alteration and Petrogenesis of Porphyry Copper-Related Granitoids in the Darreh-Zerreshk and Ali-Abad area, Central Iran", *Exploration and Mining Geology*, Vol. 16 (1-2): 11–24.
- جعفریان، ع. ر..، امامی، م. ه. و وثوقی عابدینی، م..، ۱۳۸۸، "پترولوزی و ژئوشیمی عنصر اصلی مجموعه‌ی بازالتی سلطان میدان"، *فصلنامه زمین‌شناسی کاربردی سال ۵ (۴)*: ۲۶۷–۲۸۴.
- کهرازه، م. گ..، جعفری، م. ر. و باقری‌فر، ع..، ۱۳۸۹، "اکتشافات سیستماتیک ژئوشیمی رسوبات آبراهه‌ای منطقه‌ی شورچاه (جنوب شرق زاهدان)", *فصلنامه زمین‌شناسی کاربردی سال ۶ (۱)*: ۴۲–۵۰.
- Asadi Haroni H. 2008,** "First Stage Drilling Report on Dalli Porphyry Cu-Au Prospect, *Central Province of Iran*", *Technical Report*.
- Cheng, Q. & Li, Q., 2002,** "A fractal concentration-area method for assigning a color palette for image representation", *Computers & Geosciences*, Vol. 28 (4): 567–575.
- Cheng, Q., Agterberg, F. P. & Ballantyne, S. B., 1994,** "The separation of geochemical anomalies from background by fractal methods", *Journal of Geochemical Exploration*, Vol. 51 (2): 109–130.
- Cooke, D. R., Hollings, P. & Walshe, J. L., 2005,** "Giant porphyry deposits: characteristics, distribution, and Tectonic Controls", *Economic Geology*, Vol. 100 (5): 801–818.
- Cooke, D. R., Wilson, A. J., House, M. J., Wolfe, R. C., Walshe, J. L., Lickford, V. & Crawford, A. J. 2007,** "Alkalic porphyry Au-Cu and associated mineral deposits of the Ordovician to Early Silurian Macquarie Arc, New South Wales", *Australian Journal of Earth Sciences*, Vol. 54 (2-3): 445-463.
- Graham., S., Pearson, N., Jackson, S., Griffin, W. & O'Reilly, S. Y. 2004,** "Tracing Cu and Fe from source to porphyry: in situ determination of Cu and Fe isotope ratios in sulfides from the Grasberg Cu?Au deposit", *Chemical Geology*, Vol. 207 (3-4): 147– 169.
- Hassani, H., Daya, A. A. & Alinia, F., 2009,** "Application of a Fractal Method Relating Power Spectrum and Area for Separation of Geochemical Anomalies from Background" , *Australian Journal of Basic and Applied Sciences*, Vol. 3 (4): 3307-3320.
- Hezarkhani, A., 2006a,** "Hydrothermal evolution of the Sar-Cheshmeh porphyry Cu-Mo deposit, Iran: Evidence from fluid inclusions" , *Journal of Asian Earth Sciences*, vol. 28 (4-6): 409–422.
- Hezarkhani, A., 2006b,** "Petrology of the intrusive rocks within the Sungun Porphyry Copper Deposit, Azerbaijan, Iran", *Journal of Asian Earth Sciences*, Vol. 27 (3): 326–340.
- Hou, Z.-Q., Gao, Y.-F., Qu, X.-M., Rui, Z.-Y. & Mo, X.-X., 2004,** "Origin of adakitic intrusives generated during mid-Miocene east-west extension in southern Tibet", *Earth and Planetary Science Letters*, Vol. 220 (1-2): 139–155.
- Hou, Z., Yang, Zh., Qu, X., Meng, Zh. Li, Beaudoin,**